

红系前体细胞在阿尔茨海默病中作用及机制研究

李娜 刘晓莉 朱爱琴 艾林

【摘要】 目的 探讨红系前体细胞(EPC)及其亚型在阿尔茨海默病中的作用及其机制。方法 对 2018 年 10 月至 2019 年 10 月在青海省人民医院首次诊断与治疗的 30 例阿尔茨海默病患者(AD 组)予以奥氮平联合多奈哌齐治疗,同时选取相匹配的 30 例正常对照者(对照组),均采用流式细胞术检测外周血红系前体细胞及其亚型 CD45⁺EPC 和 CD45⁻EPC 比例;进一步培养原代皮质神经元并构建阿尔茨海默病细胞模型,采用流式细胞术检测对照组、AD 模型组、CD45⁺EPC 组、CD45⁻EPC 组、Artemin 阻断组神经元凋亡比例。**结果** AD 组与对照组、AD 组治疗前后外周血红系前体细胞比例差异均无统计学意义(均 $P > 0.05$);但 AD 组治疗前 CD45⁺EPC 比例($t = 7.277, P = 0.000$)和活性氧含量($t = 10.817, P = 0.000$)高于对照组、CD45⁻EPC 比例($t = 7.277, P = 0.000$)和 Artemin 含量($t = 6.547, P = 0.000$)低于对照组,而治疗前后 CD45⁺EPC 和 CD45⁻EPC 比例、活性氧和 Artemin 含量差异均无统计学意义(均 $P > 0.05$)。神经元凋亡实验显示,不同处理组神经元凋亡比例差异有统计学意义($F = 25.662, P = 0.000$),AD 模型组($t = 9.330, P = 0.000$)、CD45⁺EPC 组($t = 14.362, P = 0.000$)、CD45⁻EPC 组($t = 2.423, P = 0.036$)和 Artemin 阻断组($t = 9.970, P = 0.000$)神经元凋亡比例均高于对照组,AD 模型组($t = 4.548, P = 0.001$)、CD45⁺EPC 组($t = 8.759, P = 0.000$)和 Artemin 阻断组($t = 5.387, P = 0.000$)均高于 CD45⁻EPC 组,CD45⁺EPC 组亦高于 AD 模型组($t = 5.091, P = 0.000$)和 Artemin 阻断组($t = 3.175, P = 0.004$)。**结论** 阿尔茨海默病患者外周血 CD45⁺EPC 比例显著增加,CD45⁻EPC 比例显著减少。CD45⁻EPC 可以通过分泌 Artemin 减少阿尔茨海默病引起的神经元凋亡。

【关键词】 阿尔茨海默病; 红系前体细胞; 抗原,CD; 细胞凋亡

The role and mechanism of erythroid precursor cells in Alzheimer's disease

LI Na¹, LIU Xiao-li², ZHU Ai-qin¹, AI Lin³

¹Department of Geriatrics, ²Department of Endocrine, Qinghai Provincial People's Hospital, Xining 810007, Qinghai, China

³Department of Nuclear Medicine, Beijing Tiantan Hospital, Capital Medical University, Beijing 100070, China

Corresponding author: LI Na (Email: 549682816@qq.com)

【Abstract】 Objective To investigate the role and mechanism of erythroid precursor cells (EPC) and its subtypes in Alzheimer's disease (AD). **Methods** The patients with AD (AD group) firstly diagnosed and treated in Qinghai Provincial People's Hospital from October 2018 to October 2019 were included, and olanzapine combined with donepezil were used for treatment; while 30 healthy volunteers were selected as the control group. The proportion of EPC, CD45⁺EPC and CD45⁻EPC in peripheral blood in control group and AD group before and after treatment was detected and sorted by flow cytometry. Primary cortical neurons were used to construct AD cells model, flow cytometry was used to detect the apoptosis of neurons in control group, AD model group, CD45⁺EPC group, CD45⁻EPC group and Artemin block group. **Results** There was no significant difference in the proportion of EPC in peripheral blood between AD group and control group, or between AD group before and after treatment ($P > 0.05$, for all). However, the proportion of CD45⁺EPC subtype ($t = 7.277, P = 0.000$) and ROS content ($t = 10.817, P = 0.000$)

doi: 10.3969/j.issn.1672-6731.2022.11.010

基金项目:国家重点研发计划项目(项目编号:2018YFC1315201)

作者单位:810007 西宁,青海省人民医院老年医学科(李娜、朱爱琴),内分泌科(刘晓莉);100070 首都医科大学附属北京天坛医院核医学科(艾林)

通讯作者:李娜,Email:549682816@qq.com

in AD group before treatment were higher than those in control group. The proportion of CD45⁻EPC subtype ($t = 7.277, P = 0.000$) and Artemin content ($t = 6.547, P = 0.000$) were lower than those in control group, but there were no significant differences in proportion of CD45⁺EPC and CD45⁻EPC subtypes, ROS and Artemin contents before and after treatment in AD group ($P > 0.05$, for all). Neuronal apoptosis experiment showed the proportion of neuronal apoptosis in different treatment groups was significantly different ($F = 25.662, P = 0.000$). The proportion of neuronal apoptosis in AD model group ($t = 9.330, P = 0.000$), CD45⁺EPC group ($t = 14.362, P = 0.000$), CD45⁻EPC group ($t = 2.423, P = 0.036$) and Artemin block group ($t = 9.970, P = 0.000$) were higher than those in control group. AD model group ($t = 4.548, P = 0.001$), CD45⁺EPC group ($t = 8.759, P = 0.000$), Artemin block group ($t = 5.387, P = 0.000$) were higher than those in CD45⁻EPC group. CD45⁺EPC group was also higher than that in AD model group ($t = 5.091, P = 0.000$) and Artemin block group ($t = 3.175, P = 0.004$). **Conclusions** The proportion of CD45⁺EPC subtype in peripheral blood of AD patients was significantly increased and the proportion of CD45⁻EPC subtype was decreased. CD45⁻EPC subtype can reduce the neuronal apoptosis induced by AD by secreting Artemin.

【Key words】 Alzheimer disease; Erythroid precursor cells; Antigens, CD; apoptosis

This study was supported by National Key Research and Development Program of China (No. 2018YFC1315201).

Conflicts of interest: none declared

阿尔茨海默病(AD)是好发于老年人群的进展性神经系统变性疾病,主要表现为记忆、视空间能力和执行功能障碍,给社会和家庭带来沉重疾病负担^[1]。目前尚缺乏有效治疗或逆转疾病进程的药物治疗,因此探寻新的治疗靶点具有十分重要的意义^[2]。流行病学调查显示,贫血人群罹患阿尔茨海默病的风险较普通人群高40%^[3-4],提示贫血可诱发阿尔茨海默病,虽然其作用机制尚不清楚,但引起研究者对红系前体细胞(EPC)的关注。红系前体细胞可增殖分化为成熟红细胞,在维持红系稳态中发挥关键作用^[5]。CD45 又称白细胞共同抗原(LCA),CD45⁺EPC 可使阿尔茨海默病患者活性氧(ROS)水平升高^[6-7];而 CD45⁻EPC 分泌 ROS 的能力较弱,但具有较强的 Artemin 分泌能力。Artemin 系神经营养因子,具有促进神经修复和营养神经之功效^[8-9]。本文拟就红系前体细胞不同亚型在阿尔茨海默病进展中的作用及其减少神经元凋亡的机制进行研究,以为阿尔茨海默病的预防与治疗提供新的靶点。

对象与方法

一、观察对象

1. 阿尔茨海默病组(AD组) 收集2018年10月至2019年10月在青海省人民医院老年医学科首次住院治疗的阿尔茨海默病患者共30例。阿尔茨海默病的诊断参照《2018中国痴呆与认知障碍诊治指南(二):阿尔茨海默病诊治指南》^[10]且年龄>18岁;排除合并恶性肿瘤、严重心脏或肺部疾病、糖尿病、

自身免疫性疾病、血液系统疾病、获得性免疫缺陷综合征(AIDS)或乙型肝炎患者。男性18例,女性12例;年龄51~63岁,平均(56.83±3.67)岁;体重53.26~75.64 kg,平均(63.16±3.66) kg;病程1~5年,平均(3.23±1.64)年;红细胞计数(4.32~4.90)×10¹²/L,平均(4.88±0.19)×10¹²/L;血红蛋白(Hb)132~150 g/L,平均(137.27±4.05) g/L。

2. 正常对照组(对照组) 选择同期在我院进行体格检查的30名健康志愿者作为对照,男性16例,女性14例;年龄50~62岁,平均(56.17±2.36)岁;体重52.61~75.32 kg,平均(64.33±5.14) kg;红细胞计数(4.30~4.84)×10¹²/L,平均(4.62±0.21)×10¹²/L;血红蛋白133~155 g/L,平均(134.71±4.05) g/L。

两组受试者性别、年龄、体重、红细胞计数和血红蛋白比较,差异无统计学意义(均 $P > 0.05$,表1),均衡可比。

二、研究方法

1. 试剂与仪器 (1)药品与试剂:奥氮平(国药准字H20010799)由江苏豪森药业集团有限公司提供,盐酸多奈哌齐(国药准字H20050978)为卫材药业有限公司产品;淋巴细胞分离液(规格100 ml)、胎牛血清(FBS,规格500 ml)和RPMI1640培养基(规格500 ml)购自美国Hyclone公司,细胞凋亡检测试剂盒(规格100 T)、TER-119-异硫氰酸荧光素(FITC,规格0.50 mg)、CD71-藻红蛋白(PE,规格0.50 mg)和CD45-藻蓝蛋白(APC,规格0.50 mg)购自美国BD公司,多聚赖氨酸(规格50 ml)、β-淀粉样

表 1 AD 组与对照组受试者一般资料的比较

Table 1. Comparison of general data between AD group and control group

观察指标	对照组(n=30)	AD组(n=30)	χ^2 或t值	P值
性别[例(%)]			0.271	0.602
男性	16(53.33)	18(60.00)		
女性	14(46.67)	12(40.00)		
年龄($\bar{x} \pm s$, 岁)	56.17 \pm 2.36	56.83 \pm 3.67	0.153	0.882
体重($\bar{x} \pm s$, kg)	64.33 \pm 5.14	63.16 \pm 3.66	0.185	0.857
红细胞计数($\bar{x} \pm s$, $\times 10^{12}/L$)	4.62 \pm 0.21	4.88 \pm 0.19	0.891	0.394
血红蛋白($\bar{x} \pm s$, g/L)	134.71 \pm 4.05	137.27 \pm 4.05	0.411	0.690

χ^2 test for comparison of sex, and two-independent-sample *t* test for comparison of others, 性别的比较采用 χ^2 检验, 其余指标的比较采用两独立样本的 *t* 检验。AD, Alzheimer's disease, 阿尔茨海默病

蛋白 42(A β_{42} , 规格 250 μ g) 和 ROS 检测试剂盒购自美国 Sigma 公司, Artemin 中和抗体(规格 100 μ l) 购自英国 Abcam 公司, 酶联免疫吸附试验(ELISA) 试剂盒(规格 96 T) 购自北京欣博盛生物科技有限公司, 细胞培养添加剂 B27(规格 10 ml) 和 NeuroCult 培养基(规格 500 ml) 购自北京诺为生物科技有限公司。(2) 设备与仪器: Transwell 共培养小室购自美国 Corning 公司, FACSCalibur 流式细胞仪购自美国 BD 公司, ELx808 酶标仪购自美国 Biotek 公司。

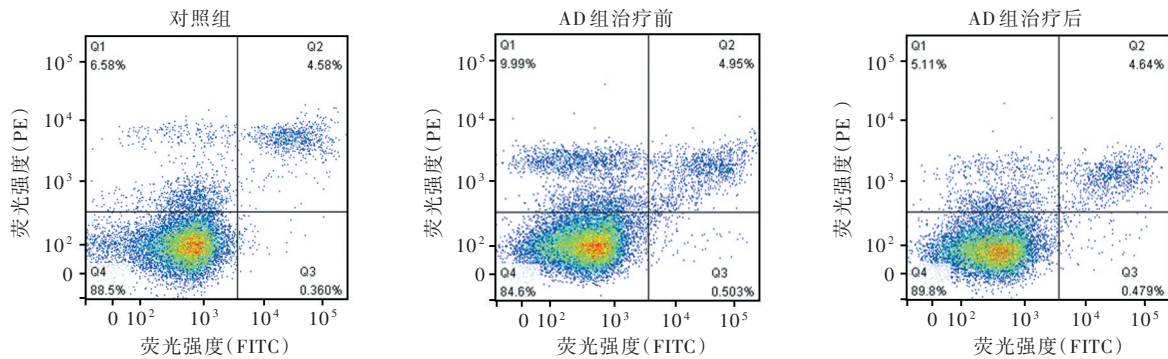
2. 流式细胞术检测外周血红系前体细胞比例以及 ROS 和 Artemin 含量 阿尔茨海默病患者予奥氮平(初始剂量 2.50 mg/晚, 1 个月后增至 12.50 mg/晚) 联合多奈哌齐(初始剂量为 5 mg/晚, 1 个月后增至 10 mg/晚) 口服, 持续 3 个月。(1) 外周血红系前体细胞比例: 采集 AD 组治疗前后以及对照组体检时外周血各 5 ml, 淋巴细胞分离液分离出外周血单个核细胞(PBMC); 磷酸盐缓冲液洗涤 3 次, 分别加入 150 μ l 含有 CD71^{PE}、CD45^{APC} 和 TER-119-FITC 的磷酸盐缓冲液, 37 $^{\circ}$ C 避光孵育 15 min; 磷酸盐缓冲液洗涤 3 次, 在流式细胞仪上通过 Flowjo 软件(<https://www.flowjo.com/>) 自动计算淋巴细胞中红系前体细胞(CD71⁺TER-119⁺细胞) 比例, 以及红系前体细胞中 CD45⁺EPC(即 CD71⁺TER-119⁺CD45⁺细胞) 和 CD45⁻EPC(即 CD71⁻TER-119⁺CD45⁻细胞) 比例。(2) ROS 和 Artemin 含量: 在流式细胞仪上分选出红系前体细胞后, 将 ROS 检测试剂盒中 DCFH-DA 试剂加入部分分选细胞中, 37 $^{\circ}$ C 孵育 20 min, 磷酸盐缓冲液洗涤 3 次, 在流式细胞仪上通过 Flowjo 软件

自动计算红系前体细胞平均荧光强度, 代表 ROS 含量。另一部分红系前体细胞置于含 10% 胎牛血清的 RPMI1640 培养基中, 37 $^{\circ}$ C 培养 48 h, 收集细胞培养上清液, ELISA 法检测 Artemin 含量, 严格按照试剂盒说明书进行操作, 在酶标仪上检测 450 nm 处光密度值(OD 值), 代表 Artemin 含量。

3. 阿尔茨海默病细胞模型构建 为进一步明确红系前体细胞在阿尔茨海默病中的作用机制, 构建阿尔茨海默病细胞模型。分离胚胎期 2 周的无特定病原体(SPF) C57BL/6 胎鼠购自北京维通利华实验动物技术有限公司[许可证号: SCXK(京)2021-0006], 断头切取脑组织并分离大脑皮质, 去除血管和周围结缔组织, 以 0.25% 胰蛋白酶消化和分离神经细胞, 将分离出的细胞置于含 B27 的 NeuroCult 培养基中培养, 培养板预包被多聚赖氨酸, 贴壁且呈梭形的细胞即为皮质神经元。参照文献[11-13]的方法构建阿尔茨海默病细胞模型, 即原代皮质神经元培养 1 周后, 加入终浓度为 1 μ mol/L 的凝聚态 A β_{42} 共培养 1 h, 用于本实验。

4. 实验分组及流式细胞术检测神经元凋亡比例 将红系前体细胞和原代皮质神经元以 Transwell 小室共培养, 上室为红系前体细胞, 下室为原代皮质神经元。共分为 5 组, 即对照组(未予处理的神经元)、AD 模型组(阿尔茨海默病细胞)、CD45⁺EPC 组(上室加入 50×10^3 个 CD45⁺EPC, 构建阿尔茨海默病细胞模型)、CD45⁻EPC 组(上室加入 50×10^3 个 CD45⁻EPC, 构建阿尔茨海默病细胞模型)、Artemin 阻断组(上室加入 50×10^3 个 CD45⁻EPC 的同时加入 Artemin 中和抗体, 构建阿尔茨海默病细胞模型), 每组 1×10^6 个细胞。共培养 48 h 后, 收集下室神经元, 磷酸盐缓冲液洗涤 3 次, 加入细胞凋亡检测试剂盒中 FITC 标记的 Annexin V 和碘化丙啶(PI), 避光结合 15 min, 在流式细胞仪上通过 Flowjo 软件自动计算神经元凋亡比例, 即流式细胞图右上象限和右下象限数值之和。神经元凋亡实验共重复 6 次, 取平均值。

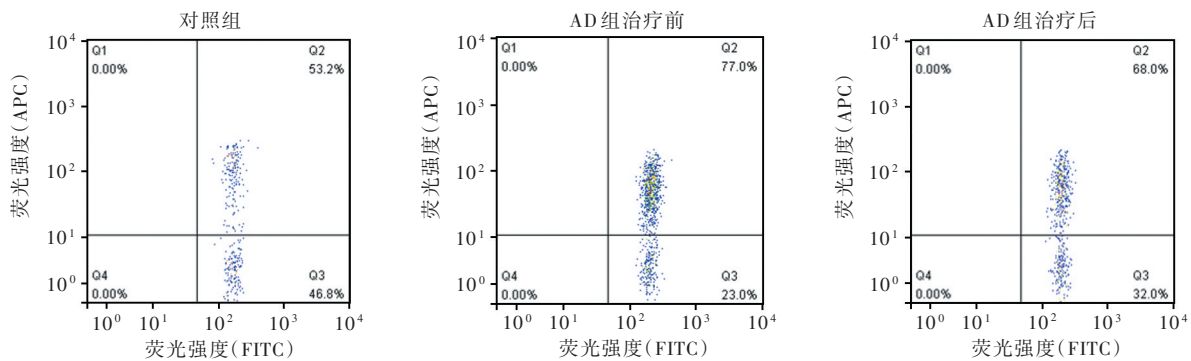
5. 统计分析方法 采用 GraphPad 5.0 软件进行数据处理与分析。Kolmogorov-Smirnov 检验进行正态性检验, 呈正态分布的计量资料以均数 \pm 标准差($\bar{x} \pm s$) 表示, 组内比较采用配对 *t* 检验; 两组间比较采用两独立样本的 *t* 检验; 多组间比较采用单因素方差分析, 两两比较行 LSD-*t* 检验。以 $P \leq 0.05$ 为差异具有统计学意义。



AD, 阿尔茨海默病; FITC, 异硫氰酸荧光素; PE, 藻红蛋白

图 1 流式细胞术显示, 对照组与 AD 组治疗前、AD 组治疗前后外周血红系前体细胞比例均无显著差异

Figure 1 Flow cytometry showed there was no significant difference in the proportion of EPC in peripheral blood between the control group and the AD group before and after treatment.



AD, 阿尔茨海默病; FITC, 异硫氰酸荧光素; APC, 藻蓝蛋白

图 2 流式细胞术显示, 与对照组相比, AD 组治疗前外周血 CD45+EPC 比例较高、CD45-EPC 比例较低; 而 AD 组治疗前后 CD45+EPC 和 CD45-EPC 比例无明显差异

Figure 2 Flow cytometry showed compared with the control group, the proportion of CD45+EPC in peripheral blood was higher and the proportion of CD45-EPC was lower in AD group before treatment. There was no significant difference in the proportion of CD45+EPC and CD45-EPC before and after treatment in AD group.

结 果

对照组外周血红系前体细胞比例为 3.26% ~ 5.65%、平均为 $(4.52 \pm 0.35)\%$, AD 组治疗前为 4.12% ~ 5.46%、平均为 $(4.93 \pm 0.20)\%$, 两组之间差异无统计学意义 ($t = 1.039, P = 0.323$), 提示阿尔茨海默病对红系前体细胞并无影响; AD 组治疗后外周血红系前体细胞比例为 3.96% ~ 5.55%、平均为 $(4.73 \pm 0.25)\%$, 治疗前后差异亦无统计学意义 ($t = 2.262, P = 0.073$), 提示药物治疗对阿尔茨海默病红系前体细胞亦无影响 (图 1)。

对照组外周血 CD45+EPC 比例为 46.12% ~ 59.44%、平均为 $(52.37 \pm 1.93)\%$, AD 组治疗前为 65.58% ~ 82.33%、平均为 $(75.50 \pm 2.53)\%$, 两组之间差异具有统计学意义 ($t = 7.277, P = 0.000$), 提示阿

尔茨海默病可使 CD45+EPC 比例增加; AD 组治疗后外周血 CD45+EPC 比例为 64.48% ~ 77.95%、平均为 $(70.17 \pm 2.24)\%$, 治疗前后差异无统计学意义 ($t = 2.034, P = 0.098$), 提示药物治疗对阿尔茨海默病 CD45+EPC 比例并无影响 (图 2)。

对照组外周血 CD45-EPC 比例为 40.56% ~ 53.88%、平均为 $(47.63 \pm 1.93)\%$, AD 组治疗前为 17.67% ~ 34.42%、平均为 $(24.50 \pm 2.53)\%$, 两组之间差异具有统计学意义 ($t = 7.277, P = 0.000$), 提示阿尔茨海默病可使 CD45-EPC 比例减少; AD 组治疗后外周血 CD45-EPC 比例为 22.05% ~ 35.52%、平均为 $(29.83 \pm 2.24)\%$, 治疗前后差异无统计学意义 ($t = 2.034, P = 0.098$), 提示药物治疗对阿尔茨海默病 CD45-EPC 比例并无影响 (图 2)。

对照组外周血红系前体细胞 ROS 荧光强度为

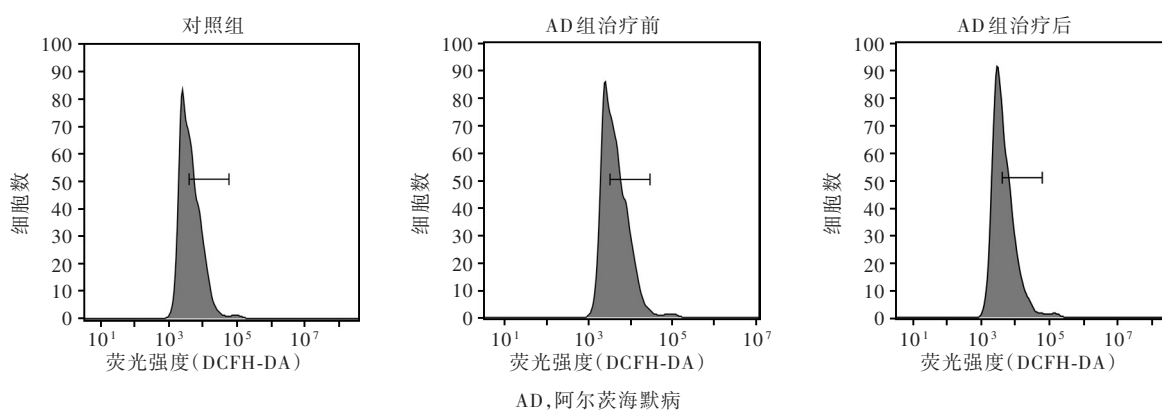


图3 流式细胞术显示,AD组治疗前红系前体细胞ROS平均荧光强度高于对照组,而AD组治疗后ROS平均荧光强度较治疗前无明显差异

Figure 3 Flow cytometry showed the average fluorescence intensity of ROS in AD group before treatment was higher than that in the control group. There was no significant difference in the average fluorescence intensity of ROS before and after treatment in AD group.

181 ~ 254、平均为 225.33 ± 12.92 , AD组治疗前为 388 ~ 472、平均为 424.81 ± 13.17 , 两组之间差异具有统计学意义 ($t = 10.817, P = 0.000$), 提示阿尔茨海默病可使红系前体细胞ROS含量升高; AD组治疗后外周血红系前体细胞ROS荧光强度为 336 ~ 445、平均为 388.75 ± 16.77 , 治疗前后差异无统计学意义 ($t = 1.230, P = 0.273$), 提示药物治疗对阿尔茨海默病红系前体细胞ROS含量并无影响(图3)。

对照组外周血红系前体细胞上清中Artemin含量为 35.11 ~ 75.63 ng/ml、平均 (52.77 ± 5.43) ng/ml, AD组治疗前为 9.66 ~ 21.58 ng/ml、平均为 (15.33 ± 1.80) ng/ml, 两组之间差异具有统计学意义 ($t = 6.547, P = 0.000$), 提示阿尔茨海默病可使红系前体细胞Artemin含量降低; AD组治疗后外周血红系前体细胞上清中Artemin含量为 14.46 ~ 32.16 ng/ml、平均为 (21.83 ± 2.87) ng/ml, 治疗前后差异无统计学意义 ($t = 1.852, P = 0.123$), 提示药物治疗对阿尔茨海默病红系前体细胞Artemin含量并无影响。

神经元凋亡实验显示, 不同处理组神经元凋亡比例差异有统计学意义 ($P = 0.000$, 表2), 进一步两两比较, AD模型组 ($P = 0.000$)、CD45⁺EPC组 ($P = 0.000$)、CD45⁻EPC组 ($P = 0.036$)、Artemin阻断组 ($P = 0.000$) 神经元凋亡比例均高于对照组; CD45⁺EPC组神经元凋亡比例高于AD模型组 ($P = 0.000$) 和Artemin阻断组 ($P = 0.004$), AD模型组 ($P = 0.001$)、CD45⁺EPC组 ($P = 0.000$)、Artemin阻断组 ($P = 0.000$) 均高于CD45⁻EPC组(表3, 图4)。

讨 论

CD45亦称为白细胞共同抗原(LCA), 表达于所有白系细胞中, 在淋巴细胞发育成熟、功能调控和免疫信号传导中发挥重要作用^[14-15], 主要通过流式细胞术和免疫组化染色等方法用于疾病的辅助诊断^[16-17]。慢性炎症反应是阿尔茨海默病发生发展的重要机制, 目前绝大多数研究集中于白系细胞领域, 较少涉及红系细胞领域。2018年, Zhao等^[6]首次报告CD45⁺EPC比例在恶性肿瘤晚期合并贫血患者中显著升高, 且此类患者预后更差, 因此认为CD45⁺EPC是肿瘤合并贫血患者病情恶化的危险因素, 进一步行基因检测发现, CD45⁺EPC通过分泌ROS抑制CD8⁺T细胞功能, 进而抑制抗肿瘤免疫反应。ROS含量升高是阿尔茨海默病早期主要的病理生理学特征之一, 可引起神经元凋亡, 上调细胞内A β 水平, 进而导致认知功能障碍^[18-19]。CD45⁺EPC自身可产生大量ROS^[6-7], 而CD45⁻EPC的ROS生成能力相对较弱, 提示CD45⁺EPC可促进阿尔茨海默病进展, 故CD45⁺EPC比例增加可能是阿尔茨海默病发生发展的重要危险因素, 可以作为阿尔茨海默病监测和治疗的有效生物学标志物。本研究结果显示, 阿尔茨海默病患者与正常对照者以及阿尔茨海默病患者奥氮平联合多奈哌齐治疗前后外周血红系前体细胞比例均无明显差异; 但阿尔茨海默病患者治疗前CD45⁺EPC比例和ROS含量均高于正常对照者, CD45⁻EPC比例低于正常对照者,

表 2 不同处理组神经元凋亡比例的比较($\bar{x} \pm s, \%$)

Table 2. Comparison of neuronal apoptosis in different groups ($\bar{x} \pm s, \%$)

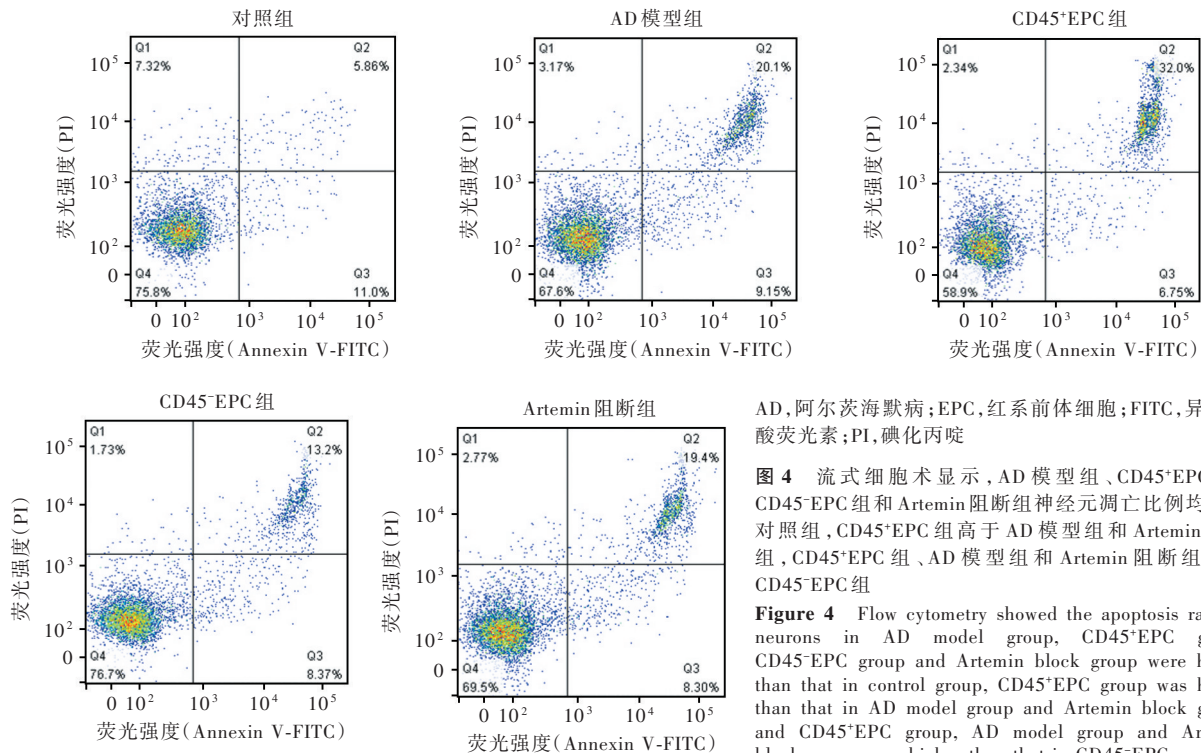
组别	细胞数	神经元凋亡比例	F 值	P 值
对照组(1)	1×10^6	15.08 ± 0.81		
AD 模型组(2)	1×10^6	29.39 ± 1.30		
CD45 ⁺ EPC 组(3)	1×10^6	39.47 ± 1.49	25.662	0.000
CD45 ⁻ EPC 组(4)	1×10^6	19.65 ± 1.70		
Artemin 阻断组(5)	1×10^6	31.72 ± 1.46		

AD, Alzheimer's disease, 阿尔茨海默病; EPC, erythroid precursor cells, 红系前体细胞

表 3 不同处理组神经元凋亡比例的两两比较

Table 3. Pairwise comparison of neuronal apoptosis among different groups

组间两两比	t 值	P 值	组间两两比	t 值	P 值
(1):(2)	9.330	0.000	(2):(4)	4.548	0.001
(1):(3)	14.362	0.000	(2):(5)	1.192	0.261
(1):(4)	2.423	0.036	(3):(4)	8.759	0.000
(1):(5)	9.970	0.000	(3):(5)	3.715	0.004
(2):(3)	5.091	0.000	(4):(5)	5.387	0.000



AD, 阿尔茨海默病; EPC, 红系前体细胞; FITC, 异硫氰酸荧光素; PI, 碘化丙啶

图 4 流式细胞术显示, AD 模型组、CD45⁺EPC 组、CD45⁻EPC 组和 Artemin 阻断组神经元凋亡比例均高于对照组, CD45⁺EPC 组高于 AD 模型组和 Artemin 阻断组, CD45⁺EPC 组、AD 模型组和 Artemin 阻断组高于 CD45⁻EPC 组

Figure 4 Flow cytometry showed the apoptosis ratio of neurons in AD model group, CD45⁺EPC group, CD45⁻EPC group and Artemin block group were higher than that in control group, CD45⁺EPC group was higher than that in AD model group and Artemin block group, and CD45⁺EPC group, AD model group and Artemin block group were higher than that in CD45⁻EPC group.

而阿尔茨海默病患者药物治疗前后 CD45⁺EPC 和 CD45⁻EPC 比例、ROS 含量无显著差异,提示红系前体细胞亚型失衡可能是阿尔茨海默病发生的重要原因,而奥氮平联合多奈哌齐等药物对红系前体细胞亚型和 ROS 含量并无影响,这是否是上述药物无法根治阿尔茨海默病的根本原因,尚待后续研究。

Artemin 属于胶质细胞源性神经营养因子(GDNF)家族配体,是一种重要神经营养因子,广泛表达于人体内^[20-21],可介导神经元生长、分化、存活和轴突生成,保护神经元抵御外界损伤^[21-23]。Artemin 在多种常见肿瘤如肺癌、前列腺癌和胰腺癌中均呈高表达^[24-26],其表达变化与 CD45⁻EPC 比例呈正相关,CD45⁻EPC 通过分泌 Artemin 促进恶性肿瘤

生长和转移^[9],但鲜见 Artemin 与阿尔茨海默病相关性的报道。本研究结果显示,阿尔茨海默病患者药物治疗前 CD45⁻EPC 比例和 Artemin 含量均低于正常对照者,而治疗前后 CD45⁻EPC 比例和 Artemin 含量无显著差异;此外,神经元凋亡实验显示,CD45⁻EPC 组神经元凋亡比例低于 AD 模型组、CD45⁺EPC 组和 Artemin 阻断组,提示 Artemin 可能是 CD45⁻EPC 发挥生物学功能的重要机制,而奥氮平和多奈哌齐等药物对阿尔茨海默病患者 Artemin 水平无明显影响可能与这些药物无法平衡红系前体细胞亚型有关。

综上所述,阿尔茨海默病患者外周血 CD45⁺EPC 比例增加、CD45⁻EPC 比例减少。

CD45-EPC 通过分泌 Artemin 减少阿尔茨海默病引起的神经元凋亡,为阿尔茨海默病的预防与治疗提供了新的靶点。

利益冲突 无

参 考 文 献

- [1] Im HI. Molecular and cellular substrates of neuroinflammation in Alzheimer disease and depression[J]. *Int Neurol J*, 2019, 23(Suppl 2):S51-52.
- [2] Zhou G, Liu S, Yu X, Zhao X, Ma L, Shan P. High prevalence of sleep disorders and behavioral and psychological symptoms of dementia in late-onset Alzheimer disease: a study in Eastern China[J]. *Medicine (Baltimore)*, 2019, 98:e18405.
- [3] Beard CM, Kokmen E, O'Brien PC, Anfa BJ, Melton LJ 3rd. Risk of Alzheimer's disease among elderly patients with anemia: population - based investigations in Olmsted County, Minnesota[J]. *Ann Epidemiol*, 1997, 7:219-224.
- [4] Faux NG, Rembach A, Wiley J, Ellis KA, Ames D, Fowler CJ, Martins RN, Pertile KK, Rumble RL, Trounson B, Masters CL, Bush AI; AIBL Research Group. An anemia of Alzheimer's disease[J]. *Mol Psychiatry*, 2014, 19:1227-1234.
- [5] Belay E, Miller CP, Kortum AN, Torok - Storb B, Blau CA, Emery DW. A hyperactive Mpl-based cell growth switch drives macrophage - associated erythropoiesis through an erythroid - megakaryocytic precursor[J]. *Blood*, 2015, 125:1025-1033.
- [6] Zhao L, He R, Long H, Guo B, Jia Q, Qin D, Liu SQ, Wang Z, Xiang T, Zhang J, Tan Y, Huang J, Chen J, Wang F, Xiao M, Gao J, Yang X, Zeng H, Wang X, Hu C, Alexander PB, Symonds ALJ, Yu J, Wan Y, Li QJ, Ye L, Zhu B. Late-stage tumors induce anemia and immunosuppressive extramedullary erythroid progenitor cells[J]. *Nat Med*, 2018, 24:1536-1544.
- [7] Shi Z, Zhang K, Zhou H, Jiang L, Xie B, Wang R, Xia W, Yin Y, Gao Z, Cui D, Zhang R, Xu S. Increased miR-34c mediates synaptic deficits by targeting synaptotagmin 1 through ROS-JNK-p53 pathway in Alzheimer's disease[J]. *Aging Cell*, 2020, 19:e13125.
- [8] Han Y, Liu Q, Hou J, Gu Y, Zhang Y, Chen Z, Fan J, Zhou W, Qiu S, Zhang Y, Dong T, Li N, Jiang Z, Zhu H, Zhang Q, Ma Y, Zhang L, Wang Q, Yu Y, Li N, Cao X. Tumor - induced generation of splenic erythroblast-like Ter-cells promotes tumor progression[J]. *Cell*, 2018, 173:634-648.e12.
- [9] Edamitsu T, Taguchi K, Kobayashi EH, Okuyama R, Yamamoto M. Aryl hydrocarbon receptor directly regulates *Artemin* gene expression[J]. *Mol Cell Biol*, 2019, 39:e00190-19.
- [10] Chinese Writing Group on Dementia and Cognitive Impairment; Cognitive Disorders Professional Committee, Neurology Branch, Chinese Medical Doctor Association. 2018 Chinese guidelines for the diagnosis and treatment of dementia and cognitive disorders (II): guidelines for the diagnosis and treatment of Alzheimer's disease[J]. *Zhonghua Yi Xue Za Zhi*, 2018, 98:971-977.[中国痴呆与认知障碍工作组, 中国医师协会神经内科医师分会认知障碍疾病专业委员会. 2018 中国痴呆与认知障碍诊治指南(二): 阿尔茨海默病诊治指南[J]. *中华医学杂志*, 2018, 98:971-977.]
- [11] Estrada-Valencia M, Herrera-Arozamena C, Pérez C, Viña D, Morales - García JA, Pérez - Castillo A, Ramos E, Romero A, Laurini E, Priel S, Rodríguez-Franco MI. New flavonoid-N, N-dibenzyl (N-methyl) amine hybrids: multi-target-directed agents for Alzheimer's disease endowed with neurogenic properties[J]. *J Enzyme Inhib Med Chem*, 2019, 34:712-727.
- [12] Llibre-Guerra JJ, Li Y, Schindler SE, Gordon BA, Fagan AM, Morris JC, Benzinger TLS, Hassenstab J, Wang G, Allegri R, Berman SB, Chhatwal J, Farlow MR, Holtzman DM, Jucker M, Levin J, Noble JM, Salloway S, Schofield P, Karch C, Fox NC, Xiong C, Bateman RJ, McDade E. Association of longitudinal changes in cerebrospinal fluid total tau and phosphorylated tau 181 and brain atrophy with disease progression in patients with Alzheimer disease[J]. *JAMA Netw Open*, 2019, 2:e1917126.
- [13] Niculescu AB, Le-Niculescu H, Roseberry K, Wang S, Hart J, Kaur A, Robertson H, Jones T, Strasburger A, Williams A, Kurian SM, Lamb B, Shekhar A, Lahiri DK, Saykin AJ. Blood biomarkers for memory: toward early detection of risk for Alzheimer disease, pharmacogenomics, and repurposed drugs [J]. *Mol Psychiatry*, 2020, 25:1651-1672.
- [14] Zhou L, Ma YC, Tang X, Li WY, Ma Y, Wang RL. Identification of the potential dual inhibitor of protein tyrosine phosphatase sigma and leukocyte common antigen - related phosphatase by virtual screen, molecular dynamic simulations and post-analysis[J]. *J Biomol Struct Dyn*, 2021, 39:45-62.
- [15] Wu JW, Zhang H, Li WY, Tang X, Li HL, Lu XH, Zheng ZH, Ma Y, Wang RL. Design potential selective inhibitors for human leukocyte common antigen - related (PTP - LAR) with fragment replace approach[J]. *J Biomol Struct Dyn*, 2020, 38:5338-5348.
- [16] Sarhan AR, Patel TR, Creese AJ, Tomlinson MG, Hellberg C, Heath JK, Hotchin NA, Cunningham DL. Regulation of platelet derived growth factor signaling by Leukocyte Common Antigen-related (LAR) protein tyrosine phosphatase: a quantitative phosphoproteomics study [J]. *Mol Cell Proteomics*, 2016, 15: 1823-1836.
- [17] Kartal O, Musabak U, Yesillik S, Sagkan RI, Pekel A, Demirel F, Baysan A, Selçuk A, Güleğ M, Şener O. Killer - cell immunoglobulin-like receptor and human leukocyte antigen-C genes in common variable immunodeficiency [J]. *Wien Klin Wochenschr*, 2016, 128:822-826.
- [18] Ahmad W, Ijaz B, Shabbiri K, Ahmed F, Rehman S. Oxidative toxicity in diabetes and Alzheimer's disease: mechanisms behind ROS/RNS generation[J]. *J Biomed Sci*, 2017, 24:76.
- [19] Tönnies E, Trushina E. Oxidative stress, synaptic dysfunction, and Alzheimer's disease[J]. *J Alzheimers Dis*, 2017, 57:1105-1121.
- [20] Ilieva M, Nielsen J, Korshunova I, Gotfryd K, Bock E, Pankratova S, Michel TM. Artemin and an artemin - derived peptide, artefin, induce neuronal survival, and differentiation through ret and NCAM[J]. *Front Mol Neurosci*, 2019, 12:47.
- [21] Nencini S, Thai J, Ivanusic JJ. Sequestration of artemin reduces inflammation - induced activation and sensitization of bone marrow nociceptors in a rodent model of carrageenan-induced inflammatory bone pain[J]. *Eur J Pain*, 2019, 23:397-409.
- [22] Wang J, Wang H, Cai J, Du S, Xin B, Wei W, Zhang T, Shen X. Artemin regulates CXCR4 expression to induce migration and invasion in pancreatic cancer cells through activation of NF- κ B signaling[J]. *Exp Cell Res*, 2018, 365:12-23.
- [23] Nencini S, Ringuet M, Kim DH, Greenhill C, Ivanusic JJ. GDNF, neurturin, and artemin activate and sensitize bone afferent neurons and contribute to inflammatory bone pain[J]. *J Neurosci*, 2018, 38:4899-4911.
- [24] Song Z, Yang F, Du H, Li X, Liu J, Dong M, Xu X. Role of artemin in non-small cell lung cancer[J]. *Thorac Cancer*, 2018, 9:555-562.
- [25] Khosravi Z, Nasiri Khalili MA, Moradi S, Hassan Sajedi R, Zeinoddini M. The molecular chaperone artemin efficiently blocks fibrillization of TAU protein in vitro[J]. *Cell J*, 2018, 19:569-577.
- [26] Hezam K, Jiang J, Sun F, Zhang X, Zhang J. Artemin promotes oncogenicity, metastasis and drug resistance in cancer cells[J]. *Rev Neurosci*, 2018, 29:93-98.

(收稿日期:2022-10-25)

(本文编辑:袁云)